



## الگوبندی متغیرهای کیفی آب با روش داده مبنا در رودخانه سفیدرود

شیما سلیمانی<sup>۱</sup>- امید بزرگ حداد<sup>۲</sup>- مجتبی مروج<sup>۳</sup>

تاریخ دریافت: ۱۳۹۳/۱۱/۰۶

تاریخ پذیرش: ۱۳۹۴/۰۷/۱۹

### چکیده

افزایش برداشت از منابع آب سطحی، به عنوان در دسترس‌ترین منبع آب و افزایش تخلیه پساب‌ها به این منابع منجر به کاهش کیفیت آب‌های سطحی شده است. لذا پایش و الگوبندی کیفیت منابع سطحی بیش از پیش احساس می‌شود. از آنجایی که روش‌های داده‌مبنا توپانایی بالایی در الگوبندی دارند، در این تحقیق ابتدا با دو روش پیش‌پردازش ضریب همبستگی و تجزیه مولفه اصلی (PCA)، ورودی‌های روش رگرسیون بردار پشتیبان حداقل مربوعات (LSSVR) تعیین و سپس الگوریتم ژنتیک-رگرسیون بردار پشتیان حداقل مربوعات (GA-LSSVR) توسعه داده شد که توپانایی تنظیم خودکار و بهینه ضرایب روش LSSVR را دارد. الگوریتم GA-LSSVR برای الگوبندی متغیرهای کیفی<sup>۱</sup>، Na<sup>+</sup>، K<sup>+</sup>، Mg<sup>2+</sup>، SO<sub>4</sub><sup>2-</sup>، pH، Cl<sup>-</sup>، TDS، EC و مجموع باقی‌مانده خشک (TDS) رودخانه سفیدرود برای طول دوره آماری ۲۰ سال (۱۳۸۴-۱۳۶۴) به کار گرفته شد. نتایج الگوبندی الکتریکی (EC) و مجموع باقی‌مانده خشک (TDS) رودخانه سفیدرود برای PCA نشان داد که مقادیر ضریب تشخیص (R<sup>2</sup>) متغیرهای کیفی<sup>۲</sup>، TDS، EC، pH، Cl<sup>-</sup> و Na<sup>+</sup> به ترتیب ۰/۹۸، ۰/۹۸، ۰/۹۷ و ۰/۹۶ می‌باشد که الگوبندی این متغیرها نسبت به دیگر متغیرهای کیفی از دقت بیشتری برخوردار است. در مجموع با توجه به مشیت بودن مقادیر نش-سایتکلیف (NS) هر دو روش از قابلیت بالایی برای انتخاب ورودی‌های الگو برخوردار هستند.

واژه‌های کلیدی: الگوریتم GA-LSSVR، ضریب همبستگی پیرسون، روش PCA

الگوبندی پارامترهای کیفی آب روش‌های مختلف وجود دارند که در این بین روش‌های داده‌مبنا در دهه‌ای اخیر مورد توجه پژوهش‌گران قرار گرفته است.

استفاده از روش رگرسیون بردار پشتیان<sup>۳</sup> (SVR) در دهه اخیر در هیدرولوژی افزایش یافته است. راگهواندرا و دکا<sup>(۱۶)</sup> کاربرد SVR در توزعه الگوی رودخانه‌ای را مرور کردند. آن‌ها روش SVR را در توزعه الگوی رودخانه‌ای پیش‌بینی جریان رودخانه، تبخیر، تراز آب دریاچه و مخزن، سیلاب و خشک‌سالی به کار برdenد.

روش<sup>۴</sup> LSSVR در پیش‌بینی و الگوبندی پارامترهای کیفی مختلف آب به کار گرفته شده است. یورانگ و لیانگزون<sup>(۲۷)</sup> با روش LSSVR به مطالعه پیش‌بینی الگوی کیفیت آب در رودخانه لیوگزی در چین پرداختند. آن‌ها پارامترهای اکسیژن موردنیاز شیمیایی<sup>۵</sup> (COD) و اکسیژن محلول<sup>۶</sup> (DO) را با یک الگوریتم

### مقدمه

اهمیت کیفیت آب سطحی، به عنوان یکی از مهم‌ترین و آسیب‌پذیرترین منابع تامین آب، امری کاملاً بدینهی است. متاسفانه درود آلاینده‌ها به پیکرهای آبی در سال‌های اخیر به دلیل رشد شهرنشینی، توسعه اقتصادی و افزایش تولیدات صنعتی، افزایش یافته است. پارامترهای کیفی آب بیان کننده خصوصیات فیزیکی، شیمیایی و بیولوژیکی آب هستند. لذا اهمیت پایش پارامترهای کیفی آب رودخانه‌ها بیش از پیش احساس می‌شود. هر کدام از مصارف گوناگون آب مانند کشاورزی، شرب، پرورش ماهی، صنعت، آب‌زیان و غیره نیازمند آب با یک کیفیت مشخص هستند که با نمونه‌برداری های مکرر، آزمایش و تحلیل نتایج مشخص می‌شود. اما هزینه نمونه‌برداری از آب‌های سطحی، اندازه‌گیری پارامترهای کیفی در محیط آزمایشگاه، خطاهای انسانی و غیره از جمله مشکلات موجود در تخمین غلط پارامترهای کیفی هستند. به همین منظور برای

- 4- Support Vector Regression  
5- Least Squares Support Vector Regression  
6- Liuxi  
7- Chemical Oxygen Demand  
8- Dissolved Oxygen

۱، ۲ و ۳- به ترتیب دانشجوی کارشناسی ارشد، دانشیار و دانشجوی دکتری گروه مهندسی آبیاری و آبادانی، دانشکده کشاورزی و منابع طبیعی، دانشگاه تهران (Email: mojtaba.moravej@gmail.com) نویسنده مسئول:

عصی مصنوعی<sup>۱۴</sup> (ANN) دارند، استفاده کردند و در نتیجه غلظت روزانه پارامتر کربن مونوکسید در هوا را داده کاوی کردند. نوری و همکاران (۱۳) ورودی‌های الگو داده‌مینا ANN با آزمون گاما<sup>۱۵</sup> را تعیین کردند و پارامتر ماده زاید جامد<sup>۱۶</sup> را الگوبندی کردند. فلاح مهدی پور و همکاران (۶) از الگوهای پیش‌فرض برای انتخاب ساختار ورودی متغیرها به GP استفاده کردند و سطح آب زیرزمینی را الگوبندی کردند. قویدل و متصری (۷) از رگرسیون گام به گام برای تعیین ساختار متغیرهای ورودی به الگو داده‌مینا شبکه عصی استفاده کردند و پارامتر کیفی TDS را الگوبندی کردند.

مرور منابع نشان می‌دهد که روش‌های داده‌مینا در بسیاری از زمینه‌های هیدرولوژی و مدیریت منابع آب به کار گرفته شده‌اند (۱۶). روش LSSVR نسبتاً جدیدی در میان روش‌های داده‌مینا است که قابلیت آن در پیش‌بینی و الگوبندی در رشته‌های مختلف اثبات شده است. اما بزرگ‌ترین نقطه ضعف این روش حساسیت بالای آن به ضرایب موازنہ بین خط و حاشیه<sup>۱۷</sup> (٪) و ضریب تابع کرنل<sup>۱۸</sup> (٪) است، این تحقیق از GA که یک الگوریتم تکاملی بر اساس نظریه داروین است و در حل مسائل بهینه‌بندی بسیار کارا می‌باشد، به منظور تنظیم خودکار و بهینه ضرایب این روش استفاده شد. به طوری که یک الگوریتم تلفیقی متشکل از روش LSSVR و GA به دست آمد. در این تحقیق از الگوریتم GA-LSSVR برای الگوبندی پارامترهای مختلف کیفی رودخانه استفاده می‌شود. اغلب تحقیقات بر روی الگوبندی پارامترهای COD، BOD و DO انجام گرفته است. ولی در تحقیق حاضر به منظور کاهش هزینه نمونه‌برداری سطحی، اندازه‌گیری پارامترهای کیفی در محیط آرمایشگاه، خطاهای انسانی و غیره به الگوبندی پارامترهای Na<sup>+</sup>, K<sup>+</sup>, Mg<sup>2+</sup>, Cl<sup>-</sup>, SO<sub>4</sub><sup>2-</sup>, pH<sup>۱۹</sup> و EC<sup>۲۰</sup> TDS با بیشترین قابلیت تقریب در رودخانه سفید رود واقع در رشت پرداخته می‌شود. همچنین نتایج حاصل از به کارگیری دو روش پیش‌پردازش داده ضریب همبستگی و PCA در انتخاب متغیرهای ورودی به الگوریتم GA-LSSVR مقایسه شده است.

## مواد و روش‌ها

### LSSVR روش

روش LSSVR توسط سویکنر و همکاران (۲۵) توسعه داده شد که اصلاحاتی نسبت به روش اصلی توسط وپنیک<sup>۲۱</sup> (۲۴) در آن لحاظ

تلوفیقی متشکل از روش LSSVR و الگوریتم بهینه‌بندی مجموعه دزرات<sup>۱</sup> (PSO) پیش‌بینی کردند. آن‌ها در این تحقیق نشان داده شد که روش LSSVR توانایی غلبه بر ضعفهای روش پرسپترون چند لایه<sup>۲</sup> (MLP) را دارد. سینگ و همکاران (۱۸) از روش خوش‌بندی بردار پشتیبان<sup>۳</sup> (SVC & SVR) برای بهینه‌بندی برنامه‌ریزی پایش داده‌های کیفیت آب سطحی استفاده کردند. در این تحقیق ۱/۵۰۰ نمونه داده کیفی از ۱۰۰ نقطه پایش در طی ۱۵ سال در شهر لوکنو<sup>۴</sup> در هند بررسی شد. هدف این تحقیق کاهش نقاط و تعداد اندازه‌گیری مقادیر کیفی و پیش‌بینی مقادیر تقاضای اکسیژن بیوشیمیابی<sup>۵</sup> (BOD) بود. آن‌ها الگوی جدید برای برنامه‌ریزی پایش در آینده به دست آورند که ۹۲/۵ درصد نقاط اندازه‌گیری داده‌های کیفی را کاهش می‌دهد و همچنین ابزاری برای پیش‌بینی BOD با همبستگی بالا ارائه دادند. تان و همکاران (۲۲) در چین، به پیش‌بینی مقادیر فسفر با روش LSSVR پرداختند و هچنین کارآیی روش LSSVR را با روش‌های شبکه عصی تابع پایه ساعی<sup>۶</sup> (RBF) و پس‌انتشار<sup>۷</sup> (BP) مقایسه کردند. مقایسه نتایج، برتری روش LSSVR را نشان داد. لیو و همکاران (۱۰) با به کارگیری روش برنامه‌ریزی RGA-<sup>۸</sup> ژنتیکی<sup>۹</sup> (GP) و داده‌های حقیقی-رگرسیون بردار پشتیبان<sup>۱۰</sup> (SVR) به حل مسئله پیش‌بینی پارامترهای کیفی آب برای پرورش ماهی پرداختند. آنها از الگوریتم GA به منظور تنظیم ضرایب روش SVR استفاده کردند. مقایسه نتایج محدود میانگین مربعات خطأ<sup>۱۱</sup> (RMSE) حاصل از روش‌های SVR و الگوریتم RGA-SVR، SVR تاکنون تحقیقات متنوعی در نحوه انتخاب متغیرهای ورودی به الگوهای داده‌مینا و تعیین ساختار این متغیرها انجام شده است. یون و همکاران (۲۶) از همبستگی متقاطع<sup>۱۲</sup> برای تعیین ساختار متغیرهای ورودی به الگو داده‌مینا ماشین بردار پشتیبان<sup>۱۳</sup> (SVM) استفاده کردند و سطح آب زیرزمینی را الگوبندی کردند. نوری و همکاران (۱۲) از روش تجزیه مولفه اصلی<sup>۱۴</sup> (PCA)، برای انتخاب ساختار متغیرهای ورودی که بیشترین تاثیر را بر خروجی الگو داده‌مینا شبکه

1- Particle Swarm Optimization

2- Multilayer Perceptron

3- Support Vector Clustering

4- Lucknow

5- Biochemical Oxygen Demand

6- Radial Basis Function

7- Back Propagation

8- Genetic Programming

9- Real-Value Genetic Algorithm SVR

10- Root Mean Square Error

11- Cross Correlation

12- Support Vector Machin

13- Principle Component Analysis

14- Artificial Neural Network

15- Gamma Test

16- Solid Waste

17- Tradeoff parameter between error and margin

18- Width of the Gaussian basis function

19- Electric Conductivity

20-Total Dissolved Solid

21- Vapnik

$$L(\omega, b, e_t, l_t) = J(\omega, e_t) - \sum_{t=1}^T l_t (\langle \omega, \varphi(x_t) \rangle + b + e_t - y^O_t) \quad (3)$$

$l_t \geq 0$  که در آن  $L(\omega, b, e_t, l_t) = \text{تابع لاغرانژین}$  و  $l_t = \text{ضریب لاغرانژ برای ورودی } t$  است. با توجه به نقاط ایستا می‌باشد، مشتقات جزئی  $L$  نسبت به متغیرهای اصل تابع  $\omega$ ,  $b$ ,  $e_t$  و  $l_t$  برابر صفر قرار گیرند. در نتیجه با جایگزینی روابط (۳) در رابطه (۴)، مقدار بیشینه  $L$  محاسبه می‌شود.

$$\begin{aligned} \frac{\partial L}{\partial \omega} &= 0 \rightarrow \omega = \sum_{t=1}^T l_t \varphi(x_t) \\ \frac{\partial L}{\partial b} &= 0 \rightarrow \sum_{t=1}^T l_t = 0 \\ \frac{\partial L}{\partial e_t} &= 0 \rightarrow l_t = \gamma e_t \end{aligned} \quad (4)$$

$$\begin{aligned} \frac{\partial L}{\partial l_t} &= 0 \rightarrow \langle \omega, \varphi(x_t) \rangle + b + e_t - y^O_t = 0 \\ \forall t &= 1, 2, \dots, T \end{aligned}$$

اطلاعات کمی در مورد انتخاب تابع غیر خطی مناسب  $\varphi(x)$  در دسترس می‌باشد. در نتیجه می‌توان یک تابع کرنل در نظر گرفت که بیان کننده فضای ویژگی است که از فضای اصلی، نگاشت غیرخطی شده است.

$$(x_t, x_k) = \langle \varphi(x_t)', \varphi(x_k) \rangle \quad t = 1, 2, \dots, T \quad k = 1, 2, \dots, T \quad (5)$$

که در آن،  $x_t, x_k = \text{تابع کرنل}$ ;  $k = \text{شمارنده تعداد متغیرهای ورودی}$  می‌باشد.

در نتیجه مقدار تخمین زده شده (محاسبه‌ای) برای خروجی  $y^O$  توسط روش LSSVR از رابطه (۶) بدست می‌آید.

$$y^E = \sum_{t=1}^T l_t K(x_t, x) + b \quad (6)$$

که در آن،  $y^E = \text{مقدار تخمین زده شده (محاسباتی)}$  توسط روش LSSVR برای مقدار  $y^O$  است که تفاوت بین مقدار  $y^E$  و  $y^O$  توسط معیارهای آماری در ادامه تحلیل می‌گردد. تابع کرنل می‌تواند از بین توابع خطی<sup>۱</sup>, چند جمله‌ای<sup>۲</sup>, سیگموید<sup>۳</sup>, MLP و RBF انتخاب شود. در این تحقیق از تابع کرنل RBF استفاده شده است. رابطه تابع کرنل RBF به شرح رابطه (۷) است.

شده است. در ادامه روش LSSVR شرح داده می‌شود. در این روش فرض می‌شود که ارتباط بین داده‌های ورودی و خروجی غیرخطی است ولی با یک رابطه نگاشت<sup>۴</sup> غیرخطی می‌توان فضایی به نام فضای ویژگی<sup>۵</sup> ایجاد کرد که در آن فضای ارتباط بین داده‌های ورودی و خروجی به صورت خطی باشد. رابطه خطی بین ورودی‌ها و خروجی‌ها در فضای ویژگی توسط رابطه (۱) قابل بیان است.

$$y^O(x) = \langle \omega, \varphi(x) \rangle + b \quad (1)$$

که در آن،  $x$  و  $y^O(x)$  به ترتیب ورودی و خروجی داده‌های مشاهداتی دسته آموزش؛  $\omega = \text{بردار وزن}$ ;  $\varphi(x) = \text{یک تابع غیر خطی که داده‌ها را از فضای اصلی به فضای ویژگی نگاشت می‌کند}$ . به طوری که  $(\dots)$  مشخص کننده ضرب داخلی دو بردار در فضای هیلبرت<sup>۶</sup> (فضایی که به نام فضای داخلی یا نقطه‌ای نیز خوانده می‌شود و در آن ضرب داخلی دو بردار عددی حقیقی می‌باشد) و  $b = \text{بایاس}$ <sup>۷</sup> می‌باشد. مقدار  $b$  و  $\omega$  را می‌توان با حل مسئله بهینه‌سازی زیر به دست آورد.

$$\begin{aligned} \text{Min } J(\omega, b) &= \frac{1}{2} \|\omega\|^2 + \frac{1}{2} \gamma \sum_{t=1}^T e_t^2 \\ \text{Subject to} \end{aligned} \quad (2)$$

$$y^O_t = \langle \omega, \varphi(x_t) \rangle + b + e_t \quad t = 1, 2, \dots, T$$

که در آن،  $J(\omega, b) = \text{تابع خسارت}$ <sup>۸</sup> که در واقع خطای آموزش را محاسبه می‌کند؛  $\|\omega\|^2 = \text{نرم اقلیدسی } \omega$ ;  $e_t = \text{متغیر خطای اتفاق افتاده برای ورودی } t$  است که  $t = 1, \dots, T$ ;  $\gamma = \text{یک ثابت قابل تنظیم بوده که به نوعی مقدار } \|\omega\|^2$  را با توجه به پیچیدگی تابع  $T$  تراحتاً تعیین می‌کند؛  $t = \text{شمارنده تعداد داده‌های ورودی}$  که از ۱ تا  $T$  متغیر است و  $T = \text{تعداد کل داده‌های ورودی}$  هستند. ایده کلیدی در حل مسئله بهینه‌سازی (۲) ساختن شکل لاغرانژی تابع هدف مینا و قیود مربوط، با دسته متغیرهای دوگان می‌باشد. می‌توان نشان داد که این شکل از تابع هدف دارای نقاط ایستا<sup>۹</sup> نسبت به متغیرهای اصلی و دوگان است. لاغرانژین تابع به صورت زیر تعریف می‌شود.

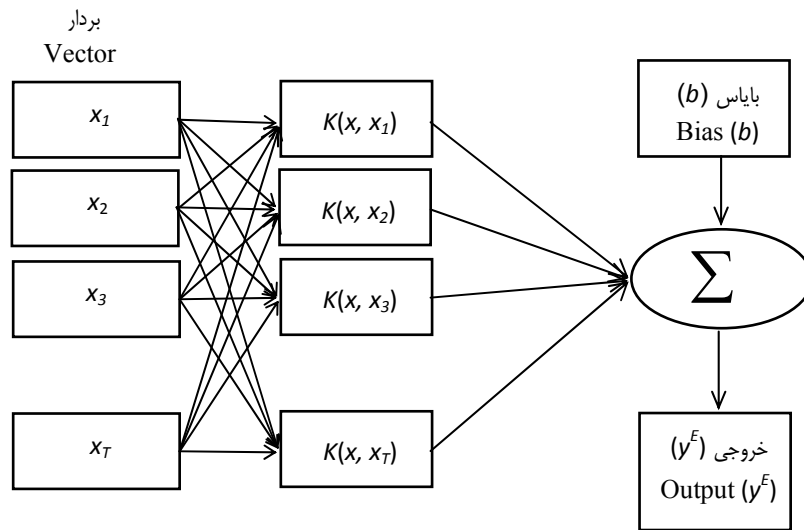
- 8- Linear
- 9- Polynomial
- 10- Sigmoid

- 1- Mapping
- 2- Feature Space
- 3- Hibert
- 4- Bias
- 5- Loss Function
- 6- Euclidean norm
- 7- Stationary Points

کرنل RBF که پارامتری ثابت و قابل تنظیم توسط کاربر می‌باشد، هستند. معماری روش SVR به شرح شکل ۱ است.

$$K(x, x_t) = e^{-\frac{\|x - x_t\|^2}{\sigma^2}} \quad (7)$$

که در آن،  $x_t$  = داده  $t$  ام بردار ورودی و  $\sigma$  = ضریب تابع



شکل ۱- ساختار روش LSSVR

Figure 1- LSSVR method constructure

صورت افراد از نسلی به نسل دیگر تکامل می‌یابند. فرآیند تکامل منجر به ایجاد افرادی می‌شود که بیشترین تطابق با محیط را دارند یا به عبارت دیگر راه حل بهینه مسئله هستند. در نتیجه در این تحقیق الگوریتم GA-LSSVR توسعه داده شد که توانایی تنظیم خودکار و بهینه ضرایب روش LSSVR را با GA دارد. روند نمای الگوریتم GA-LSSVR در شکل ۲ ارائه می‌شود.

تابع هدف مورد استفاده در رابطه (۸) ارائه شده است. همچنین برای مقایسه، معیارهای ضریب تشخیص<sup>۵</sup> ( $R^2$ ) و نش-سایتکلیف<sup>۶</sup> (NS) نیز استفاده می‌شوند. رابطه این معیارها در روابط (۹) و (۱۰) ذکر شد.

$$RMSE = \sqrt{\frac{1}{T} \sum_{t=1}^T (y_t^O - y_t^E)^2} \quad (8)$$

$$R^2 = 1 - \frac{\sum_{t=1}^T (y_t^O - \bar{y}_t^O)^2 (y_t^E - \bar{y}_t^E)^2}{\sum_{t=1}^T (y_t^O - \bar{y}_t^O)^2 \times \sum_{t=1}^T (y_t^E - \bar{y}_t^E)^2} \quad (9)$$

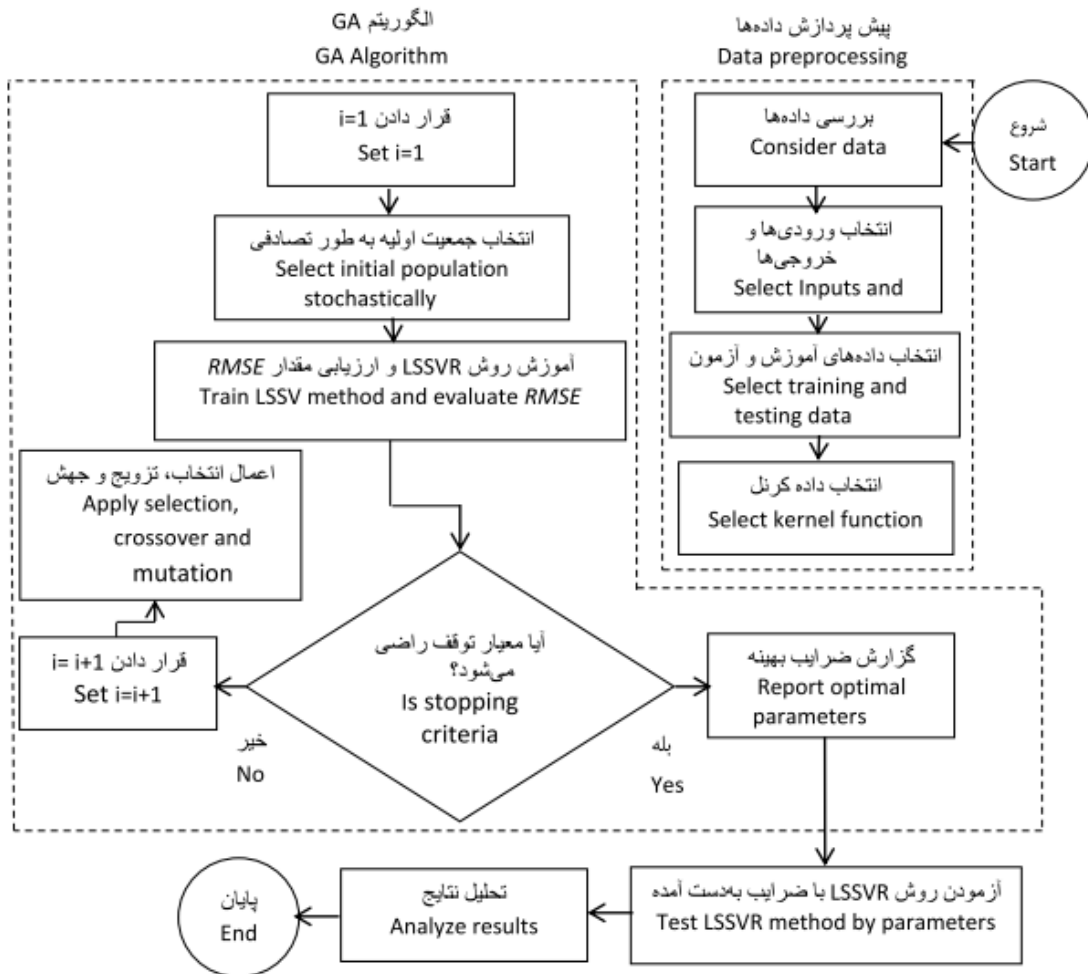
5- Coefficient of Determination  
6- Nash-Sutcliff

روش LSSVR راهکاری برای انتخاب ضرایب  $\gamma$  و  $\sigma$  پیشنهاد نکرده است. به دلیل این که دقیق روش LSSVR، به انتخاب مقادیر این ضرایب وابسته است، در این تحقیق از GA برای به دست آوردن مقادیر بهینه این ضرایب استفاده می‌شود.

#### انتخاب بهینه ضرایب روش LSSVR با GA

الگوریتم‌های بهینه‌بندی فراکاوشی قابلیت یافتن جوابی در همسایگی جواب بهینه کلی مسئله را دارند و در حل بسیاری از مسائل بهینه‌بندی مرتبط با منابع آب استفاده شده‌اند (۱، ۲، ۳ و ۲۰). GA یک روش جستجوی ابتکاری الهام گرفته شده از تکامل جانداران در طبیعت است که برای حل مسائل بهینه‌بندی استفاده می‌شود (۵). این الگوریتم با الهام از تکامل<sup>۱</sup> و وراثت<sup>۲</sup> موجودات زنده توسعه داده شده است. در این الگوریتم، مسئله به صورت جامعه‌ای از افراد تعریف می‌شود. مطابق قانون بقا، بهترین افراد به دلیل توانایی سازگاری بیشتر با محیط برای تولید مثل انتخاب می‌شوند. افراد انتخاب شده طی فرآیندهای تزویج<sup>۳</sup> و جهش<sup>۴</sup> نسل جدیدی تولید می‌کنند. به این

- 1- Evolution
- 2- Heredity
- 3- Crossover
- 4- Mutation



شکل ۲- روندمندی الگوریتم

Figure 2- GA-LSSVR Flowchart

منظور کامل بودن سری زمانی و منطقی بودن مقدار متغیرها در سری آماری، ۲- شناسایی متغیرهای ورودی موثر بر متغیر خروجی مورد نظر با روش های ضریب همبستگی و PCA و ۳- انتخاب داده های دسته آموزش و آزمون بر اساس طول دوره آماری است.

### روش ضریب همبستگی

ضریب همبستگی، یکی از معیارهای مورد استفاده در تعیین همبستگی دو متغیر است. رابطه ضریب همبستگی در زیر آورده شده است.

$$\rho_{X,Y} = \frac{\text{cov}(X,Y)}{\sigma_X \sigma_Y} = \frac{E[(X-\mu_X)(Y-\mu_Y)]}{\sigma_X \sigma_Y} \quad (11)$$

$$NS = 1 - \frac{\sum_{t=1}^T (y_t^O - \bar{y}_t^O)^2}{\sum_{t=1}^T (y_t^O - \bar{y}_t)^2} \quad (10)$$

که در آن،  $y_t^E$  و  $\bar{y}_t^O$  به ترتیب داده های مشاهداتی و محاسباتی و  $y_t^O$  و  $\bar{y}_t$  به ترتیب = متوسط داده های مشاهداتی و محاسباتی می باشند. معیارهای ارائه شده در روابط (۸) تا (۱۰) توسط وانگ و همکاران (۲۵)؛ رجایی و همکاران (۱۷)؛ سلطانی و همکاران (۱۹) و عروجی و همکاران (۱۴) نیز به کار گرفته شده اند.

### پیش پردازش دادهها

پیش پردازش دادهها شامل سه مرحله‌ی ۱- بررسی دادهها به

به منظور حذف تاثیر مقیاس مقادیر متغیرهای ورودی مختلف نسبت به یکدیگر، مقادیر متغیرهای ورودی برای استفاده از روش PCA بهتر است استاندارد شوند. در این تحقیق از رابطه‌ی (۱۵) به منظور استاندارد بندی داده‌ها استفاده شده است.

$$z = \frac{x_i - \mu}{\sigma} \quad (15)$$

که در آن  $x_i$  = متغیر ورودی  $i$ ؛  $\mu$  = میانگین متغیرهای ورودی و  $\sigma$  = انحراف معیار متغیرهای ورودی هستند.

#### منطقه مورد مطالعه و داده‌ها

این تحقیق به تحلیل داده‌های کیفیت آب ایستگاه آستانه در مسیر رودخانه سفیدرود واقع در شمال ایران برای الگوبندی متغیرهای کیفی آب می‌پردازد. طول و مساحت حوضه رودخانه سفیدرود به ترتیب تقریباً ۶۷۰ کیلومتر و ۱۳۴۵۰ کیلومتر مربع هستند. این رودخانه در شهر رشت به دریای خزر می‌ریزد. شکل ۶ موقعیت منطقه مطالعاتی ایستگاه آستانه و رودخانه سفیدرود را نشان می‌دهد. متغیرهای مورد نظر در این تحقیق شامل  $\text{Na}^+$ ،  $\text{K}^+$ ،  $\text{Mg}^{2+}$ ،  $\text{SO}_4^{2-}$ ،  $\text{pH}$ ،  $\text{EC}$  و  $\text{TDS}$  هستند. سری زمانی پارامترهای کیفی مذکور به صورت ماهانه طی سال‌های ۱۳۶۴ تا ۱۳۷۷ و سال‌های ۱۳۷۹ تا ۱۳۸۴ موجود است.

#### نتایج

##### انتخاب و بررسی داده‌های آموزش و آزمون

در این تحقیق داده‌های دسته آموزش و آزمون به نسبت ۷۰ به ۳۰ درصد از کل داده‌ها به صورت متواالی انتخاب شدند. به این صورت، داده‌های دسته آموزش دوره آماری ۱۳۶۴ تا ۱۳۷۷ (۱۵۴ ماه) را در بر می‌گیرند و دوره آماری ۱۳۷۹ تا ۱۳۸۴ (۶۹ ماه) برای داده‌های دسته آزمون انتخاب شدند. شایان ذکر است که سری زمانی انتخاب شده برای داده‌های دسته آموزش و آزمون یک سری زمانی کامل بدون مقادیر گم شده است. در این بخش ابتدا خصوصیات آماری داده‌های دسته آموزش و آزمون در جدول ۱ بررسی می‌شود.

همان‌طور که در جدول ۱ قابل مشاهده است، پارامتر کیفی  $\text{K}$  و  $\text{Na}$  دارای بیشترین ضریب تغییرات به ترتیب در بخش داده‌های آموزش و آزمون و پارامتر کیفی  $\text{pH}$  دارای کمترین ضریب تغییرات در بخش داده‌های آموزش و آزمون است.

##### انتخاب ورودی‌ها و تعیین ساختار الگو

در این قسمت ضریب همبستگی پرسون برای هر دو متغیر کیفی و برای هر یک از متغیرهای کیفی و دبی ورودی به مخزن در جدول ۲ محاسبه شده است. این ضرایب در طول کل دوره آماری بررسی

که در آن  $cov = \text{کوواریانس بین متغیر کمی } X \text{ با } Y; \sigma_X$  و  $\sigma_Y$  = به ترتیب انحراف معیار متغیر  $X$  و  $Y$ ;  $\mu_X$  و  $\mu_Y$  = به ترتیب میانگین متغیر  $X$  و  $Y$  و  $E = \text{امید ریاضی را نشان می‌دهد.}$

در این تحقیق برای انتخاب ورودی‌های هر الگو از ضریب همبستگی پرسون بین داده‌ها استفاده شد و متغیرهایی به عنوان ۹۹ درصدی به الگو معرفی شدند که همبستگی معناداری در سطح ۹۹ درصد با متغیر مورد نظر داشتند.

#### روش PCA

در این تحقیق از روش PCA نیز به منظور مقایسه نتایج استفاده شد. یکی از کاربردهای مهم روش PCA، در رگرسیون است. با روش PCA می‌توان تعداد زیادی متغیر توضیحی (مستقل<sup>۱</sup>) همبسته را با تعداد محدودی متغیر توضیحی جدید که مولفه‌های اصلی نامیده می‌شوند و ناهمبسته‌اند، جایگزین نمود<sup>(۴)</sup>.

با این روش، ترکیباتی از  $p$  متغیر اولیه  $x_1, x_2, \dots, x_p$  برای ایجاد حداقل  $p$  مولفه مستقل به صورت  $PC_1, PC_2, \dots, PC_p$  ایجاد می‌شود. هر مولفه اصلی می‌تواند با دنباله ارائه شده در رابطه ۱۲ داده شود<sup>(۸)</sup>.

$$\begin{aligned} PC_1 &= w_{11}x_1 + w_{12}x_2 + \dots + w_{1p}x_p \\ PC_2 &= w_{21}x_1 + w_{22}x_2 + \dots + w_{2p}x_p \\ &\vdots \\ PC_p &= w_{p1}x_1 + w_{p2}x_2 + \dots + w_{pp}x_p \end{aligned} \quad (12)$$

که در این رابطه،  $PC_i$  = مولفه  $i$ ؛  $w_{ij}$  = ضریب مربوط به مولفه  $i$  ام و متغیر اولیه  $j$  ام؛  $x_i$  = متغیر اولیه  $i$  ام است. ضریب  $w_{ij}$  تخمین زده می‌شود که اولین مولفه ( $PC_1$ ) بیشینه واریانس داده‌ها را در نظر گرفته و دومین مولفه ( $PC_2$ )، بیشینه واریانس در نظر گرفته نشده توسط اولین مولفه را پیش‌بینی کرده و این روند ادامه می‌یابد تا آخرین مولفه ( $PC_p$ ) نیز تمامی واریانس مورد نظر را در بر بگیرد.

$$w_{i1}^2 + w_{i2}^2 + \dots + w_{ip}^2 = 1 \quad \forall i = 1, \dots, p \quad (13)$$

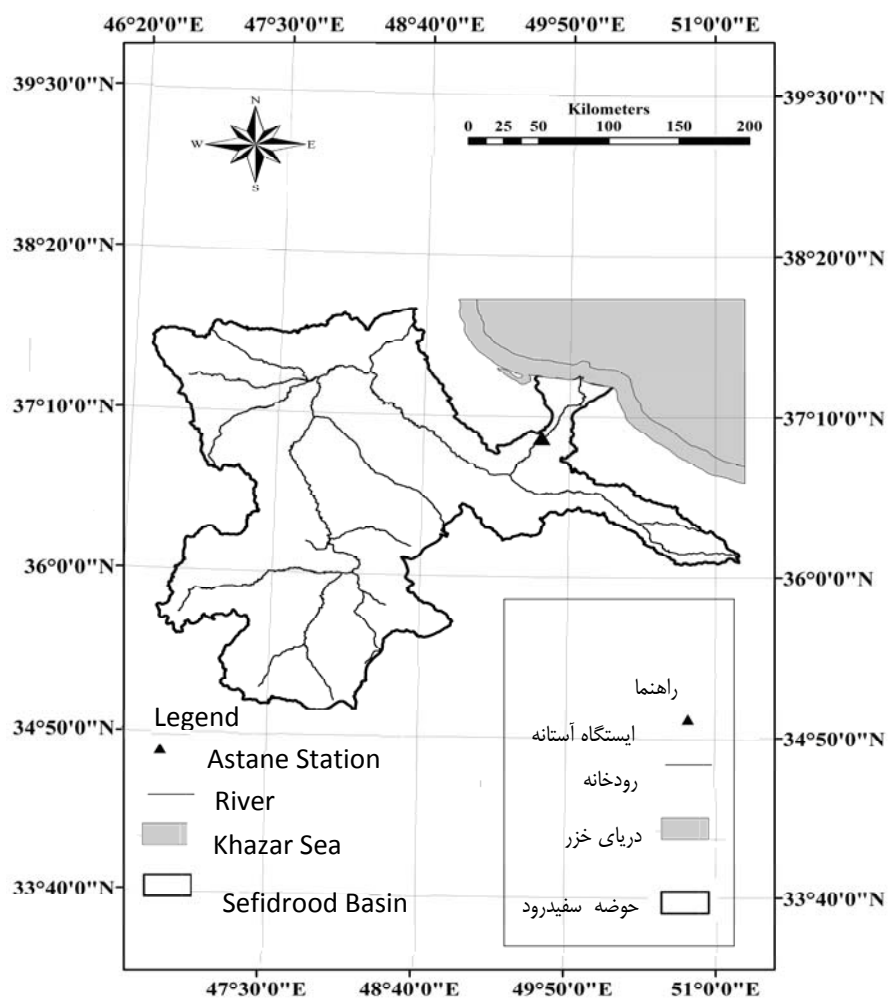
$$w_{i1}w_{j1} + w_{i2}w_{j2} + \dots + w_{ip}w_{jp} = 0 \quad \forall i \neq j \quad (14)$$

اطلاعات بیشتر در مورد روش PCA و نحوه محاسبه ضرایب  $w_{ij}$  را می‌توان در تاباچنیک و فیدل<sup>(۲۲)</sup>؛ اویانگ<sup>(۱۵)</sup> و نوری و همکاران<sup>(۱۳)</sup> مطالعه کرد.

که در آن،  $Q_{t-1}$  و  $Q_{t-2}$  = به ترتیب برابر دبی جریان ورودی با یک ماه و دو ماه تا خیر و  $pH_{t-1}$  و  $pH_{t-2}$  = به ترتیب برابر با  $pH$  یک ماه و دو ماه تا خیر می‌باشند. همان‌طور که گفته شد به دلیل این که هیچ یک از پارامترهای کیفی رابطه‌ی معناداری با پارامتر کیفی  $pH$  ندارند. لذا از پارامترهای  $Q_{t-1}$ ،  $Q_{t-2}$  و  $pH_{t-1}$  و  $pH_{t-2}$  که به نسبت رابطه‌ی معنادارتری با پارامتر  $pH$  دارند برای تعیین ساختار الگو ورودی این پارامتر استفاده شد.

در ادامه به منظور حذف تاثیر مقیاس مقادیر متغیرهای ورودی مختلف نسبت به یکدیگر، مقادیر متغیرهای ورودی برای استفاده از روش PCA با رابطه (۱۴) استاندارد شدند. سپس متغیرهای اصلی ماتریس ورودی بدست آمدند. شکل ۳ درصد تجمعی واریانس هر مولفه‌ی اصلی را نشان می‌دهد.

شده است. که در آن  $Q =$  دبی ورودی ماهانه به مخزن بر حسب مترمکعب بر ثانیه می‌باشد. همان‌طور که در جدول ۲ نشان داده می‌شود،  $pH$  با هیچ یک از متغیرهای کیفی و دبی ورودی رابطه معناداری ندارد. در نتیجه برای  $pH$  الگو ورودی دیگری در نظر گرفته شد که در جدول ۹۹ آورده شده است. بر اساس جدول ۲ داده‌هایی که در سطح ۳ درصد با متغیر مورد نظر همبستگی و رابطه معناداری دارند، به عنوان ورودی در جدول ۳ برای تخمین هر پارامتر به طور جداگانه تشکیل داده شدند. همان‌طور که در جدول ۲ مشاهده می‌شود هر پارامتر کیفی با پارامترهای کیفی مختلفی رابطه معنادار دارد، لذا نمی‌توان برای الگوبندی هر پارامتر کیفی از یک الگو ورودی یگانه استفاده کرد.



شکل ۳- موقعیت حوضه آبریز رودخانه سفیدرود و ایستگاه آستانه  
Figre 3- The Sefidrood basin and Astane Station situation

جدول ۱- خصوصیات آماری داده‌های دسته آموزش و آزمون متغیرهای کیفیت آب رودخانه سفیدرود در ایستگاه آستانه

Table 1- The statistical properties of the train and test set of quality parameters in the Sefidrood statation

متغیر	داده مجموعه	کمینه	میانگین	بیشینه	انحراف معیار	ضریب تغییرات
Parameter	Data set	Minimum	Average	Maximum	Standard deviation	Coefficient of variation
$\text{Na}^+$ (meq.l)	آموزش					
	Training	0.05	5.78	15.65	2.64	45.72
$\text{K}^+$ (meq.l)	آزمون	0.19	3.74	10.13	2.19	58.57
	Testing					
$\text{Mg}^{2+}$ (meq.l)	آموزش					
	Training	0.01	0.09	0.22	0.04	49.14
$\text{So}_4^{2-}$ (meq.l)	آزمون	0.01	0.08	0.15	0.03	39.76
	Testing					
$\text{Cl}^-$ (meq.l)	آموزش					
	Training	0.20	2.31	5.50	0.93	40.37
$\text{Cl}^-$ (meq.l)	آزمون	0.38	2.08	5.52	1.04	49.77
	Testing					
$\text{pH}$	آموزش					
	Training	0.34	2.83	7.38	1.27	44.88
$\text{pH}$	آزمون	0.21	1.93	4.12	1.00	51.89
	Testing					
$\text{EC}$ ( $\mu\text{s.cm}$ )	آموزش	0.80	5.72	15.60	2.65	46.37
	Training	244.43	1221.70	2336.00	381.49	31.23
$\text{TDS}$ (mg.l)	آزمون	252.00	1024.41	2018.00	393.96	38.46
	Testing					
$\text{TDS}$ (mg.l)	آموزش	263.00	772.59	1472.00	232.36	30.08
	Training	159.00	641.75	1271.00	243.81	37.99
	Testing					

جدول ۲- ضریب همبستگی بین متغیرهای کیفیت آب رودخانه سفیدرود

Table 2- The correlation coefficient between quality parameters in the Sefidrood river

TDS	EC	pH	$\text{Cl}^-$	$\text{So}_4^{2-}$	$\text{Mg}^{2+}$	$\text{K}^+$	$\text{Na}^+$	Q	متغیر
Parameter									
0.13	0.12	0.07	-0.11	0.03	-0.17**	-0.01	-0.06	1.00	Q
0.87**	0.87**	0.01	0.87**	0.68**	0.54**	0.32**	1.00	0.06	$\text{Na}^+$
0.37**	0.36**	0.09	0.39**	0.43**	0.10	1.00	0.32**	-0.01	$\text{K}^+$
0.68**	0.69**	0.04	0.66**	0.48**	1.00	0.10	0.54**	-0.17**	$\text{Mg}^{2+}$
0.75**	0.77**	0.07	0.63**	1.00	0.48**	0.43**	0.68**	0.03	$\text{So}_4^{2-}$
0.92**	0.94**	0.03	1.00	0.63**	0.66**	0.31**	0.87**	0.11	$\text{Cl}^-$
0.02	0.00	1.00	0.03	0.70	0.04	0.09	-0.01	-0.08	pH
0.97**	1.00	0.00	0.94**	0.77**	0.69**	0.36**	0.87**	-0.12	EC
1.00	0.98**	0.02	0.92**	0.75**	0.68 **	0.36**	0.87**	-0.13	TDS

\*\* محدوده اطمینان %۹۹

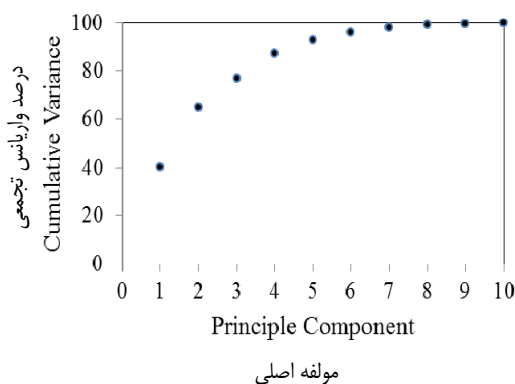
Confidence interval %99

هستند. لذا به دلیل افزایش دقت، ۱۰ مولفه اصلی اولیه به عنوان ورودی به الگوریتم GA-LSSVR داده شد.

در این تحقیق مطابق شکل ۴، ۱۰ متغیر اصلی محاسبه شده ۹۹/۹۹ درصد واریانس ماتریس ورودی را توجیه می‌کنند و ۲۵ متغیر بعدی تنها توجیه کننده ۱۰۰ درصد از واریانس ماتریس ورودی

جدول ۳- الگو ورودی به GA-LSSVR بر اساس ضرایب همبستگی  
Table 3- input model to GA-LSSVR based on correlation coefficient

متغیر Parameter	الگو ورودی Input model											
	Q	Q <sub>t-1</sub>	Q <sub>t-2</sub>	Na <sup>+</sup>	K <sup>+</sup>	Mg <sup>2+</sup>	So <sub>4</sub> <sup>2-</sup>	Cl <sup>-</sup>	pH <sub>t-1</sub>	pH <sub>t-2</sub>	EC	TDS
Na <sup>+</sup>				√	√	√	√	√			√	√
K <sup>+</sup>					√	√	√	√			√	√
Mg <sup>2+</sup>	√				√	√	√	√			√	√
So <sub>4</sub> <sup>2-</sup>				√				√			√	√
Cl <sup>-</sup>					√	√	√	√			√	√
pH	√	√	√	√		√	√	√	√	√		√
EC					√	√	√	√	√			
TDS					√	√	√	√			√	



شکل ۴- درصد تجمعی واریانس به ازای مولفه‌های اصلی  
Figure 7- Cumulative percentage of variance for main parameter

جدول ۴- مقادیر بهینه ضرایب  $\gamma$  و  $\sigma$  به دست آمده از الگوریتم GATable 4- The obtained  $\gamma$  and  $\sigma$  of optimal value of coefficient from GA

متغیر Parameter	روش ضریب همبستگی		روش PCA	
	$\sigma$	$\gamma$	$\sigma$	$\gamma$
Na <sup>+</sup> (meq.L)	43.80	30.15	58.31	48.75
K <sup>+</sup> (meq.L)	22.60	58.07	3.03	13.43
Mg <sup>2+</sup> (meq.L)	64.74	85.74	18.88	69.87
So <sub>4</sub> <sup>2-</sup> (meq.L)	96.87	38.00	15.61	57.61
Cl <sup>-</sup> (meq.L)	68.28	8.70	15.77	58.04
pH	56.49	4.27	38.92	0.58
EC(μs.cm)	96.08	52.10	21.09	75.98
TDS(meq.L)	18.10	46.95	17.17	66.75

نرخ تزویج <sup>۱</sup>۸۰، نرخ جهش <sup>۲</sup>۲۰، تعداد ۱۰۰ تکرار به دست آوردن ضرایب بهینه روش LSSVR استفاده شد. کران پایین و بالا بین ۰ تا

نتایج الگوریتم GA-LSSVR با دو روش پردازش داده  
ضرایب همبستگی و PCA

جدول ۴ ضرایب بهینه به دست آمده از الگوریتم GA-LSSVR را نشان می‌دهد. در این تحقیق GA با ۲۰ جمعیت، یک نخبه‌گرایی،

کیفی آب مورد مطالعه دارای الگوهای مختلفی هستند و طیف وسیعی از سری های زمانی را دربر می گیرند.

با ضرایب بهینه ارائه شده در جدول ۴ روش LSSVR برای هر دو روش ضریب همبستگی و PCA به طور جداگانه اجرا شد. نتایج بدست آمده از الگوریتم GA-LSSVR برای داده های دسته آموزش و آزمون متغیرهای مختلف کیفیت آب در جدول ۵ ارائه می شوند.

برای تعیین محدوده متغیر تصمیم در GA تعریف شد. ضرایب بهینه ارائه شده در جدول ۴ نشان می دهند که ضرایب بهینه به دست آمده در روش ضریب همبستگی در بازه ۱۸ تا ۹۶ در روش PCA در بازه ۳ تا ۵۸ برای ضریب  $\sigma$  و در روش ضریب همبستگی در بازه ۴ تا ۸۵ در روش PCA در بازه ۵۰ تا ۷۵ برای ضریب  $\rho$  متغیر است که بازه وسیعی را در بر می گیرد. این بازه وسیع برای ضرایب روش LSSVR بیان گرین موضوع است که سری های زمانی متغیرهای

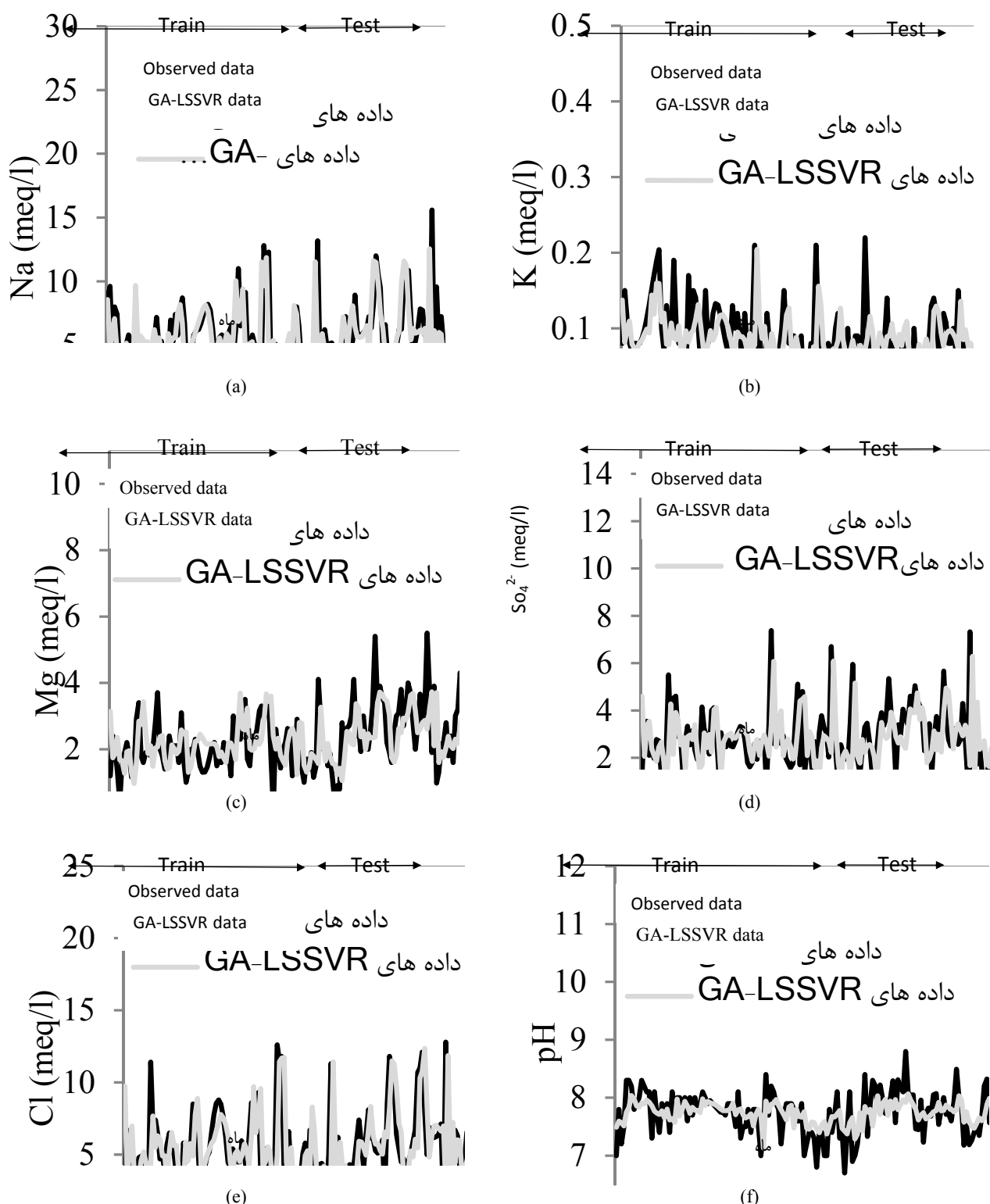
جدول ۵- آماره‌های بدست آمده از الگوریتم GA-LSSVR با دو روش ضریب همبستگی و PCA برای دسته‌های آموزش و آزمون  
Table 5- The obtained statistics of GA-LSSVR using two methods of correlation coefficient and PCA for the train and test data

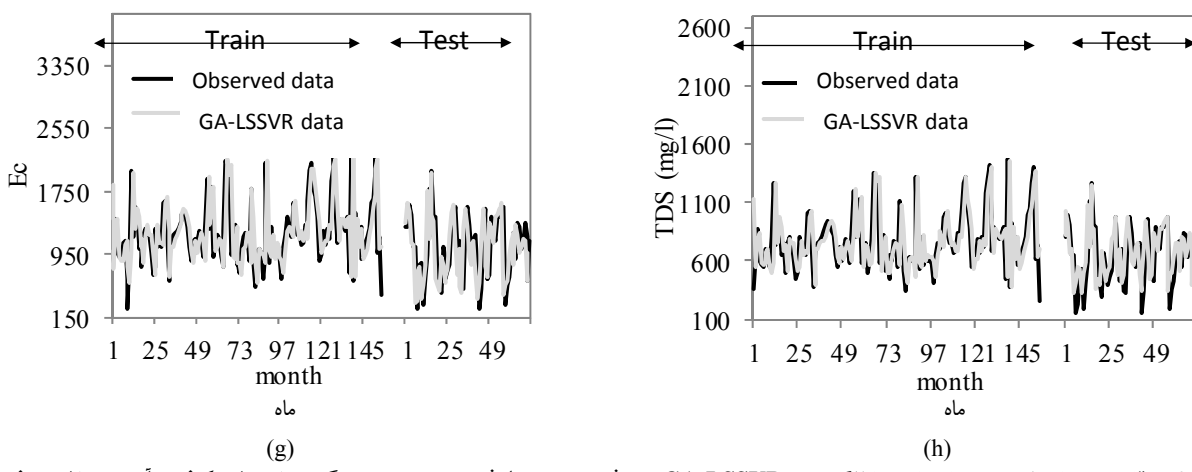
متغير Parameter	روش Method	أموزش Train			أزمون Test		
		RMSE	R <sup>2</sup>	NS	RMSE	R <sup>2</sup>	NS
Na <sup>+</sup> (meq.L)	ضریب همبستگی	1.10	0.91	0.82	0.88	0.94	0.85
	PCA	0.92	0.93	0.87	1.20	0.94	0.69
K <sup>+</sup> (meq.L)	ضریب همبستگی	0.03	0.66	0.43	0.02	0.64	0.38
	PCA	0.03	0.63	0.36	0.02	0.64	0.38
Mg <sup>2+</sup> (meq.L)	ضریب همبستگی	0.61	0.75	0.56	0.65	0.79	0.60
	PCA	0.64	0.72	0.52	0.66	0.79	0.58
So <sub>4</sub> <sup>2-</sup> (meq.L)	ضریب همبستگی	0.70	0.83	0.70	0.58	0.92	0.65
	PCA	0.76	0.79	0.63	0.67	0.84	0.54
Cl <sup>-</sup> (meq.L)	ضریب همبستگی	0.91	0.94	0.88	0.61	0.97	0.94
	PCA	0.86	0.94	0.89	0.71	0.96	0.91
pH	ضریب همبستگی	0.32	0.55	0.30	0.38	0.69	0.30
	PCA	0.02	0.99	0.99	0.31	0.75	0.52
EC (μs.cm)	ضریب همبستگی	67.17	0.98	0.97	73.34	0.98	0.97
	PCA	69.08	0.98	0.98	61.79	0.98	0.97
TDS (meq.L)	ضریب همبستگی	40.50	0.98	0.97	65.45	0.98	0.93
	PCA	39.35	0.98	0.97	55.84	0.98	0.94

هر یک از روش‌های پیش‌پردازش ضریب همبستگی و PCA نتایج الگوبندی متغیرهای کیفیت آب به دست آمده از الگوریتم GA-LSVR در شکل ۸ ارائه می‌شوند.

عروجی و همکاران (۱۴) با الگوهای ورودی پیش فرض (تعیین الگو ورودی به الگو داده مینا به صورت فرضی و با توجه به تجربه)، متغیرهای کیفی  $\text{Na}^+$ ,  $\text{K}^+$ ,  $\text{Mg}^{2+}$ ,  $\text{Cl}^-$ ,  $\text{H}^+$ ,  $\text{SO}_4^{2-}$  و TDS مقادیر RMSE بهترین الگوهای انتخاب شده در مرحله آزمون برای رودخانه سفید رود در ایستگاه آستانه را با روش GP الگوبندی کردند. مقدار متغیرهای کیفی فوق الذکر به ترتیب برابر  $1.2$ ,  $0.200$ ,  $85.0$ ,  $93.0$ ,  $1.2$ ,  $33.0$ ,  $15.404$  و  $15.246$  به دست آمدند. با مقایسه نتایج الگوبندی متغیرهای کیفی عروجی و همکاران (۱۸) در طول دوره آماری مشابه با تحقیق حاضر و جدول ۵ مشاهده می شود که انتخاب ورودی های الگو با روش ضریب همبستگی منجر به بهبود نتایج تا ۰.۵ برابر می شود.

با توجه به جدول ۵، الگوریتم GA-LSSVR با به کارگیری روش ضریب همبستگی و PCA نتایج مشابهی را ارائه می دهد. در مورد متغیرهای کیفی pH، EC و TDS، هرچند که روش PCA از دقت بیشتری برخوردار است، ولی اختلاف بین  $RMSE$  روش ضریب همبستگی و روش PCA بسیار ناچیز است. به طوری که روش PCA نسبت به روش ضریب همبستگی منجر به بهبود مقدار  $NS$  به میزان ۲۲ و ۱/۰ درصد به ترتیب برای متغیرهای کیفی pH و TDS شده است و مقدار آن برای متغیر EC تغییر نکرده است. از آنجایی که مجموع معیار  $NS$  برای داده های آزمون در روش ضریب همبستگی ۶۲/۵ و در روش PCA برابر ۵۳/۵ است. لذا، نتایج بدست آمده از روش ضریب همبستگی و PCA به هم نزدیک است؛ هرچند که از نظر سادگی روش ضریب همبستگی ساده تر است ولی از نظر دقت بین این دو نمی توان اختلاف معنی داری قائل شد. در مجموع با توجه به مثبت بودن مقادیر  $NS$  می توان نتیجه گرفت که الگوریتم GA-LSSVR توانایی بالایی در الگوبندی متغیرهای کیفی با به کارگیری





شکل ۸- مقادیر مشاهداتی و محاسباتی با الگوریتم GA-LSSVR و روش پیش‌پردازش ضریب همبستگی متغیرهای کیفیت آب رودخانه سفید  
Figure 8- The observation and calculated values using GA-LSSVR algorithm and correlation coefficient method of quality parameters in the Sefidrood river  
(a)  $\text{Na}^+$ , (b)  $\text{K}^+$ , (c)  $\text{Mg}^{2+}$ , (d)  $\text{So}_4^{2-}$ , (e)  $\text{Cl}^-$ , (f) pH, (g) EC, and (h) TDS

به ترتیب برای متغیرهای کیفی TDS و pH شده است و مقدار آن برای متغیر EC تغییر نکرده است. از آنجایی که مجموع معیار NS برای داده‌های آزمون در روش ضریب همبستگی ۶۲.۵ و در روش PCA برابر ۵۳.۵ است. لذا، نتایج بدست آمده از روش ضریب همبستگی و PCA اختلاف چندان و معناداری با هم ندارند. در هر دو روش ضریب همبستگی و PCA، مقادیر  $R^2$  و NS نشان‌دهنده همبستگی بالا بین مقادیر محاسباتی و مشاهداتی می‌باشند، لذا استفاده از هر دو روش در الگوبندی داده‌های کیفی با به کارگیری روش LSSVR با به کارگیری ضرایب بهینه پیشنهاد می‌شود. بهبودی نتایج تحقیق حاضر تا ۵.۵ برابر نسبت به نتایج تحقیق عروجی و همکاران (۱۶) با دوره آماری مشابه نشان می‌دهد که الگوریتم تلفیقی پیشنهادی و انتخاب ورودی‌های الگو با روش ضریب همبستگی قابلیت تقریب بسیار بالایی در الگوبندی متغیرهای کیفی را دارد.

### نتیجه‌گیری کلی

در این تحقیق از الگوریتم GA که به عنوان یکی از پرکاربردترین الگوریتم‌های بهینه‌بندی در علوم مختلف مطرح است، جهت بهینه‌بندی ضرایب روش LSSVR استفاده شد و الگوریتم GA-LSSVR جهت الگوبندی متغیرهای کیفی آب توسعه داده شد. به منظور مقایسه روش‌های پیش‌پردازش ضریب همبستگی و PCA داده‌های ورودی به الگوریتم GA-LSSVR از هر دو روش ضریب همبستگی و PCA بدست آمد. در ادامه الگوریتم GA-LSSVR برای متغیرهای ورودی که با روش ضریب همبستگی و PCA بدست آمده بودند، به طور جداگانه اجرا شد. در مورد متغیرهای کیفی pH و TDS، هرچند که روش PCA از دقت بیشتری برخوردار است، ولی اختلاف بین RMSE روش ضریب همبستگی و روش PCA بسیار ناچیز است. به طوری که روش PCA نسبت به روش ضریب همبستگی منجر به بهبود مقدار NS به میزان ۲۲ و ۱۰۰ درصد

### منابع

- Bozorg Haddad O., Afshar A., and Mariño M.A. 2011. Multi-reservoir optimisation in discrete and continuous domains, Proceedings of the Institution of Civil Engineers: Water Management, 164(2), 57-72.
- Bozorg Haddad O., Fallah-Mehdipour E., Mirzaei-Noudoushan F., and Mariño M.A. 2014a. Discussion of A GA-based support vector machine model for the prediction of monthly reservoir storage, Journal of Hydrologic Engineering, DOI: 10.1061.(ASCE)HE.1943-5584.0001086.
- Bozorg Haddad O., Moravej M., and Loáiciga H. 2014b. Application of the water cycle algorithm to the optimal operation of reservoir systems, Journal of Irrigation and Drainage Engineering, DOI: 10.1061.(ASCE)IR.1943-4774.0000832 ,04014064.
- Camdevyren H., Demyr N., Kanik A., and Keskyn, S. 2005. Use of principal component scores in multiple linear regression models for prediction of Chlorophyll-a in reservoirs, Ecological Modelling, 181 (4), 581-589.
- Chiu D.Y., and Chen P.J. 2009. Dynamically exploring internal mechanism of stock market by fuzzy-based support

- vector machines with high dimension input space and genetic algorithm, *Expert Systems with Applications*, 36(2), 1240-1248.
- 6- Fallah-Mehdipour E., Bozorg Haddad O., and Mariño M.A. 2013. Prediction and simulation of monthly groundwater levels by genetic programming, *Journal of Hydro-Environment Research*, 7(4), 253-260.
  - 7- Ghavidel S. Z.Z., and Montaseri M. 2014. Application of different data-driven methods for the prediction of total dissolved solids in the Zarinehroud basin, *Stochastic Environmental Research and Risk Assessment*, 28(8), 2101-2118.
  - 8- Johnson R.A., and Wichern D.W. 1982. *Applied multivariate statistical analysis*, Prentice Hall, No 3, Englewood Cliffs, SA.
  - 9- Koza J. R. 1990. *Genetic programming: A paradigm for genetically breeding populations of computer programs to solve problems*, Department of Computer Science, Stanford University, 131pp.
  - 10- Liu S., Tai H., Ding Q., Li D., Xu L., and Wei, Y. 2013, A hybrid approach of support vector regression with genetic algorithm optimization for aquaculture water quality prediction, *Mathematical and Computer Modelling*, 58(3), 458-465.
  - 11- Noori R., Ashrafi Kh., and Ajdarpoor A. 2008. Comparison of ANN and PCA based multivariate linear regression applied to predict the daily average concentration of Co: A case study of Tehran, *Journal of Physics Earth Space*, 34(1), 135-152.
  - 12- Noori R., Karbassi A., and Salman Sabahi, M. 2010. Evaluation of PCA and Gamma test techniques on ANN operation for weekly solid waste prediction, *Journal of Environmental Management*, 91(3), 767-771.
  - 13- Noori R., Karbassi A. R., Moghaddamnia A., Han D., Zokaei-Ashtiani M.H., Farokhnia A., and Gousheh M. G. 2011. Assessment of input variables determination on the SVM model performance using PCA, Gamma test, and forward selection techniques for monthly stream flow prediction. *Journal of Hydrology*, 401(3), 177-189.
  - 14- Orouji H., Bozorg Haddad O., Fallah-Mehdipour E., and Mariño M.A. 2013. Modeling of water quality parameters using data-driven models, *Journal of Environmental Engineering*, 139(7), 947-957.
  - 15- Ouyang, Y. 2005. Evaluation of river water quality monitoring stations by principal component analysis, *Water Research*, 39(12), 2621-2635.
  - 16- Raghavendra N.S., and Deka P.C. 2014. Support vector machine applications in the field of hydrology: A review, *Applied Soft Computing*, 19, 372-386.
  - 17- Rajaei T., Mirbagheri S.A., Zounemat-Kermani M., and Nourani, V. 2009. Daily suspended sediment concentration simulation using ANN and neuro-fuzzy models, *Science of the Total Environment*, 407(17), 4916-4927.
  - 18- Singh K.P., Basant N., and Gupta S. 2011. Support vector machines in water quality management, *Analytica Chimica Acta*, 703(2), 152-162.
  - 19- Soltani F., Kerachian R., and Shirangi E. 2010. Developing operating rules for reservoirs considering the water quality issues: Application of ANFIS-based surrogate models, *Expert Systems with Applications*, 37(9), 6639-6645.
  - 20- Su J., Wang X., Liang Y., and Chen B. 2013. A GA-based support vector machine model for the prediction of monthly reservoir storage, *Journal of Hydrologic Engineering*, 19(7), 1430-1437.
  - 21- Suykens J.A.K., Van Gestel T., De Brabanter J., De Moor B., and Vandewalle J. 2002. *Least squares support vector machines*, World Scientific Publishing, No. 4, Singapore.
  - 22- Tabachnick B.G., and Fidell, L.S. 2001. *Using multivariate statistics*, Pearson, No. 2, 963 pp.
  - 23- Tan G., Yan J., Gao C., and Yang, S. 2012. Prediction of water quality time series data based on least squares support vector machine, *Procedia Engineering*, 31, 1194-1199.
  - 24- Vapnik V.N. 1995. *The nature of statistical learning theory*, Springer, New York, USA.
  - 25- Wang W.C., Chau K.W., Cheng C.T., and Qiu L. 2009. A comparison of performance of several artificial intelligence methods for forecasting monthly discharge time series, *Journal of Hydrology*, 374(3), 294-306.
  - 26- Yoon H., Jun S.C., Hyun Y., Bae G.O., and Lee K.K. 2011. A comparative study of artificial neural networks and support vector machines for predicting groundwater levels in a coastal aquifer, *Journal of Hydrology*, 396(1-2), 128-138.
  - 27- Yunrong X., and Liangzhong J. 2009. Water quality prediction using LS-SVM with particle swarm optimization, *Second International Workshop on Knowledge Discovery and Data Mining*, IEEE 2009, Moscow, Russia, January 23-25.



## Modeling Water Quality Parameters Using Data-driven Methods

Sh. Soleimani<sup>1</sup>- O. Bozorg Haddad<sup>2</sup>- M. Moravej<sup>3\*</sup>

Received: 26-01-2015

Accepted: 11-10-2015

**Introduction:** Surface water bodies are the most easily available water resources. Increase use and waste water withdrawal of surface water causes drastic changes in surface water quality. Water quality, importance as the most vulnerable and important water supply resources is absolutely clear. Unfortunately, in the recent years because of city population increase, economical improvement, and industrial product increase, entry of pollutants to water bodies has been increased. According to that water quality parameters express physical, chemical, and biological water features. So the importance of water quality monitoring is necessary more than before. Each of various uses of water, such as agriculture, drinking, industry, and aquaculture needs the water with a special quality. In the other hand, the exact estimation of concentration of water quality parameter is significant.

**Material and Methods:** In this research, first two input variable models as selection methods (namely, correlation coefficient and principal component analysis) were applied to select the model inputs. Data processing is consisting of three steps, (1) data considering, (2) identification of input data which have efficient on output data, and (3) selecting the training and testing data. Genetic Algorithm-Least Square Support Vector Regression (GA-LSSVR) algorithm were developed to model the water quality parameters. In the LSSVR method is assumed that the relationship between input and output variables is nonlinear, but by using a nonlinear mapping relation can create a space which is named feature space in which relationship between input and output variables is defined linear. The developed algorithm is able to gain maximize the accuracy of the LSSVR method with auto LSSVR parameters. Genetic algorithm (GA) is one of evolutionary algorithm which automatically can find the optimum coefficient of Least Square Support Vector Regression (LSSVR). The GA-LSSVR algorithm was employed to model water quality parameters such as  $\text{Na}^+$ ,  $\text{K}^+$ ,  $\text{Mg}^{2+}$ ,  $\text{SO}_4^{2-}$ ,  $\text{Cl}^-$ , pH, Electric conductivity (EC) and total dissolved solids (TDS) in the Sefidrood River. For comparison the selected input variable methods coefficient of determination ( $R^2$ ), root mean square error (RMSE), and Nash-Sutcliff (NS) are applied.

**Results and Discussion:** According to Table 5, the results of the GA-LSSVR algorithm by using correlation coefficient and PCA methods approximately show similar results. About pH, EC, and TDS quality parameters, the results of PCA method have, the more accuracy, but the difference of RMSE between the PCA method and correlation coefficient method is not significant. The PCA method cause improvement in NS values to 22 and 0.1 percentages in pH and TDS water quality parameters to the correlation coefficient method, respectively, and NS criteria value for EC water quality parameter did not change in both methods. As a result, according to positive values of NS criteria in both PCA and correlation methods, it is clear that GA-LSSVR has a high ability for modeling of water quality parameters. Because of summation of NS criteria for PCA method is 5.53 and for correlation coefficient is 5.62, we can say that the correlation coefficient method has more applicable as a data processing method, but both methods have a high ability. Orouji et al. (18) used assumed models to model  $\text{Na}^+$ ,  $\text{K}^+$ ,  $\text{Mg}^{2+}$ ,  $\text{SO}_4^{2-}$ ,  $\text{Cl}^-$ , pH, EC, and TDS by Genetic programming (GP) method. The RMSE criteria of the better models for testing data are 2.1, 0.02, 0.85, 0.93, 2.18, 0.33, 404.15, and 246.15, respectively. For comparison the orouji et al. (18) and table (5), the Results show using the correlation coefficient method as a data processing method can improve the results to 5.5 times. The results indicate the superiority of developing algorithm increases the modeling accuracy. It is worth mentioning that according to NS criteria both selected inputs variable methods (correlation coefficient and PCA) are capable to model the water quality parameters. Also the result shows that using correlation coefficient method lead to more accurate results than PCA.

**Conclusion:** In this study, GA algorithm as one of the most applicable optimization algorithms in the different sciences was used to optimize the LSSVR coefficients and Then GA-LSSVR was developed to model the water quality parameters. To comparison data processing methods (correlation coefficient and PCA methods), the input variables of both methods were determined and GA-LSSVR was performed for each of the input variables. To compare the results of the PCA and correlation coefficient methods, some statistics were

1, 2 and 3- M.Sc. Student, Associate Professor and Ph.D. Candidate, Department of Irrigation and Reclamation, Faculty of Agricultural Engineering and Technology, College of Agriculture and Natural Resources, University of Tehran  
(\*-Corresponding Author Email: ShimaSoleimani@ut.ac.ir)

used. It is worth mentioning that according to NS criteria both input selection methods are capable to model water quality parameters. Also the results show that using correlation coefficient method lead to more accurate results than PCA.

**Keywords:** GA-LSSVR Algorithm, Pearson correlation coefficient, PCA method